九州大学学術情報リポジトリ Kyushu University Institutional Repository

A study on a role of Sprouty2 in the palatal fusion

松村, 香織 九州大学大学院歯学府口腔顎顔面病態学講座顎顔面腫瘍制御学分野

https://doi.org/10.15017/19960

出版情報:九州大学, 2010, 博士(歯学), 課程博士

バージョン: 権利関係:

MAPK 経路抑制因子 Sprouty2 が 口蓋癒合に与える影響に関する研究

A study on a role of Sprouty2 in the palatal fusion

2011年

九州大学大学院歯学府歯学専攻口腔顎顔面病態学講座 顎顔面腫瘍制御学分野松村 香織

指導教員

九州大学大学院歯学研究院 口腔顎顔面病態学講座 顎顔面腫瘍制御学分野 中村 誠司 教授

本研究の一部は以下の学術雑誌に掲載予定である。

Sprouty2 controls proliferation of palate mesenchymal cell via FGF signaling

Kaori MATSUMURA, Takaharu TAKETOMI, Keigo YOSHIZAKI, Shinsaku ARAI, Terukazu SANUI, Daigo YOSHIGA, Akihiko YOSHIMURA, Seiji NAKAMURA

Biochemical and Biophysical Research Communications (in press)

2010 年 第 64 回日本口腔科学会総会・学術大会にて 「マウスロ蓋形成における Sprouty2 の役割」 として本研究の一部を発表し、学会賞優秀発表賞を受賞した。

2010 年 6th Congress of the International Cleft Lip and Palate Foundation にて 「Sprouty2 deficient mice exhibit cleft palate 」 として本研究の一部を発表し、Best paper award を受賞した。

略語一覧

ANOVA: analysis of variance

BrdU: 5-bromo-2'-deoxy-uridine

cDNA: complementary deoxyribonucleic acid

DEPC: diethyl pyrocarbonate

DMEM: Dulbecco's Modified Eagle's Medium

E: embryonic day (胎生)

EGF: epidermal growth factor

ERK: extracellular regulated kinase

Etv: ets variant gene

FBS: fetal bovine serum

FGF: fibroblast growth factor

FGFR: fibroblast growth factor receptor

FITC: fluorescein isothiocyanate

GAPDH: glycelaldehyde-3-phosphate dehydrogenase

GDNF: glial cell line-derived neurotrophic factor

HE: hematoxylin-eosin

Hox: homeobox

HRP: horse radish peroxidase

KO: knock out (遺伝子欠損型)

MAPK: mitogen activated protein kinase

mRNA: messenger ribonucleic acid

Msx: homeobox, msh-like 1

MTHFR: 5,10-methylenetetrahydrofolate reductase

PBS: phosphate-buffered saline

PBST: phosphate-buffered saline with TritonX-100

PCR: polymerase chain reaction

PFA: paraformaldehyde

PI: propidium iodide

Ptx: paired-like homeodomain transcription factor

PVDF: poly vinilidene difluoride

RT-PCR: reverse transcription polymerase chain reaction

RARA: retinoic acid receptor α

SDS-PAGE: sodium dodecyl sulfate–polyachrylamide gelelectrophoresis

Shh: sonic hedgehog

siRNA: small interfering ribonucleic acid

TGF: transforming growth factor

TUNEL: terminal deoxynucleotidyl transferase mediated 2'-Deoxyuridine,

5'-Triphosphate biotin nick end labeling

WT: wild type (野生型)

<u>目 次</u>

要旨	6
緒言	9
材料と方法	12
結果	18
野生型マウスの口蓋癒合時期における Sprouty2 の発現	18
Sprouty2 遺伝子欠損マウスにおける口蓋裂	20
Sprouty2 遺伝子欠損マウスにおける骨格系の評価	23
口蓋器官培養における Sprouty2 遺伝子発現抑制の効果	25
Sprouty2 遺伝子欠損マウス口蓋の細胞増殖とアポトーシスに関する検討	27
Sprouty2 遺伝子発現抑制による口蓋間葉細胞増殖の変化	29
Sprouty2 による FGF シグナルを介した口蓋間葉細胞増殖制御	31
考察	33
参考文献	37
謝辞	42

要旨

口唇口蓋裂は顎顔面領域で最も頻度の高い先天奇形のひとつである。その発症要因に関しては遺伝的要因と環境的要因からなる多因子閾説が有力であるが、現在も発症機序については明らかになっていない。Sprouty2 は mitogen activated protein kinase (MAPK) 経路により転写誘導されるネガティブフィードバック制御因子であり、近年口蓋裂発症との関連が示唆されている。 本研究では、マウスの口蓋癒合における Sprouty2 の役割を明らかにするために以下の検討を行った。

1. 口蓋癒合時期の野生型マウスにおける Sprouty2 の発現に関する検討

野生型 (wild type: WT) マウスの口蓋癒合時期 (口蓋突起挙上前、接合時、癒合時) の頭部前頭断切片において、Sprouty2 は口蓋上皮細胞と口蓋間葉細胞に発現していた。WT マウスの口蓋突起より messenger ribonucleic acid (mRNA) を採取し、リアルタイム polymerase chain reaction (PCR) を行ったところ、時期による mRNA 発現量の変化はなかったが、口蓋癒合時期を通して恒常的に発現していた。

2. Sprouty2 遺伝子欠損マウス口蓋の表現型に関する検討

Sprouty2 遺伝子欠損 (knock out: KO) マウス胎仔の 21.9% に口蓋裂を認め、口蓋裂発症胎仔では口蓋突起は挙上しておらず、舌の側方に存在していた。

3. 口蓋器官培養における Sprouty2 遺伝子発現抑制の口蓋癒合に対する効果

Sprouty2 非存在下での口蓋癒合能について検討するため、WT マウスの口蓋突起を採取し、Sprouty2 small interfering ribonucleic acid (siRNA) 導入下に口蓋器官培養を行った。Sprouty2 siRNA 導入群と対照群はいずれも接合部口蓋上皮が消失し、完全に癒合した。

4. Sprouty2 KO マウスの口蓋間葉におけるアポトーシスおよび細胞増殖に関する検討

Sprouty2 KO マウスの口蓋におけるアポトーシスについて terminal deoxynucleotidyl transferase mediated 2'-Deoxyuridine, 5'-Triphosphate biotin nick end labeling (TUNEL) 染色を用いて検討したところ、WT マウスとの間に有意な差は認めなかった。次に、Ki-67 免疫組織化学染色にて細胞増殖について検討したところ、Sprouty2 KO マウスの口蓋間葉には Ki-67 陽性細胞が有意に多かった。また、Sprouty2 siRNA を導入した WT マウスの口蓋間葉細胞を用いて WST-8 アッセイにて生細胞数を測定したところ、Sprouty2 siRNA 導入群で有意に細胞増殖が亢進していた。また、5-bromo-2'-deoxy-uridine (BrdU) 取込試験では Sprouty2 siRNA 導入群で有意に BrdU 陽性細胞が多かった。

5. Sprouty2 による口蓋間葉細胞増殖制御に関連するシグナル経路に関する検討

口蓋間葉細胞よりタンパクを抽出してウエスタンブロット法にて解析した ところ、*Sprouty2* siRNA 導入群では fibroblast growth factor (FGF) 刺激時に細 胞増殖の指標となる extracellular regulated kinase (ERK) のリン酸化が亢進し ていた。また、FGF シグナルにより誘導される homeobox, msh-like1 (*MsxI*)、 paired-like homeodomain transcription factor1 (*PtxI*)、ets variant gene5 (*Etv5*) の mRNA 発現を確認したところ、Sprouty2 KO マウスの口蓋で発現が亢進していた。

以上の結果より、Sprouty2 は FGF シグナルを介して口蓋間葉の細胞増殖を制御しており、Sprouty2 KO マウスでは口蓋間葉細胞の増殖異常により口蓋突起の挙上が阻害され、口蓋裂を発症することが示唆された。

緒 言

口唇口蓋裂は、顎顔面領域でもっとも頻度の高い先天異常のひとつである [1]。その病因は遺伝的因子と環境的因子が関与する多因子閾説が有力とされているが、同胞での発症率が約 10 倍と遺伝的因子の関与が強いとする報告もある [2]。これまでにヒトのDNAサンプルを用いた関連解析にてレチノイン酸の受容体遺伝子である retinoic acid receptor α (RARA)、細胞増殖因子の transforming growth factor- β 3 (TGF- β 3)、ホメオティック遺伝子の homeobox, msh-like1 (MSXI)、葉酸代謝に関与する 5,10-methylenetetrahydrofolate reductase (MTHFR) などの遺伝子内の多型と口唇口蓋裂発症との有意な関連が報告されているが、いまだに口唇口蓋裂発症の分子メカニズムについては不明な点が多い [1,3]。

哺乳類の口蓋は前方の一次口蓋と後方の二次口蓋で構成されており、一次口蓋と鼻中隔は前鼻突起、二次口蓋は上顎突起の両側より発生する [1]。マウスの二次口蓋は胎生 12.5 日 (embryonic day 12.5: E12.5) ごろ形成が開始され、E13.5 から E14.5 の間に両側の上顎突起より口蓋突起が伸長をはじめ舌の上方に挙上する。挙上した口蓋突起は舌の上方で接合後、接合部上皮細胞が消失し、E16.5で口蓋の癒合が完了する。この過程で何らかの障害が起こることで口蓋突起形成不全、挙上障害や接合部口蓋上皮の残存をきたし、口蓋裂を発症すると考えられる [1,4,5]。

Mitogen activated protein kinase (MAPK) 経路関連分子は口蓋裂発症に関与するとされている分子のうちのひとつである。MAPK 経路は fibroblast growth factor (FGF) や epidermal growth factor (EGF) をはじめとした増殖因子

がチロシンキナーゼ型受容体に結合することで活性化され、最終的に核内にシグナルが伝達され細胞増殖や分化をコードする遺伝子が転写される [9,10]。 MAPK 経路関連分子である Tgf- $\beta3$ 遺伝子欠損 (knock out: KO) マウス [6]、epidermal growth factor receptor (Egfr) KO [7] マウスは口蓋接合部上皮が消失せず、口蓋裂となることが報告されている。また Fgf10 KO マウスおよび Fgf10 のレセプターである fibroblast growth factor receptor2 (Fgfr2) KO マウスでは口蓋突起の形成不全により口蓋裂を発症することが知られている [8-10]。Sprouty2 は MAPK 経路抑制因子として知られている分子である。 Sprouty2 は MAPK 経路に対し、負のフィードバック機構によって増殖因子からのシグナルを調節している (図 1)。

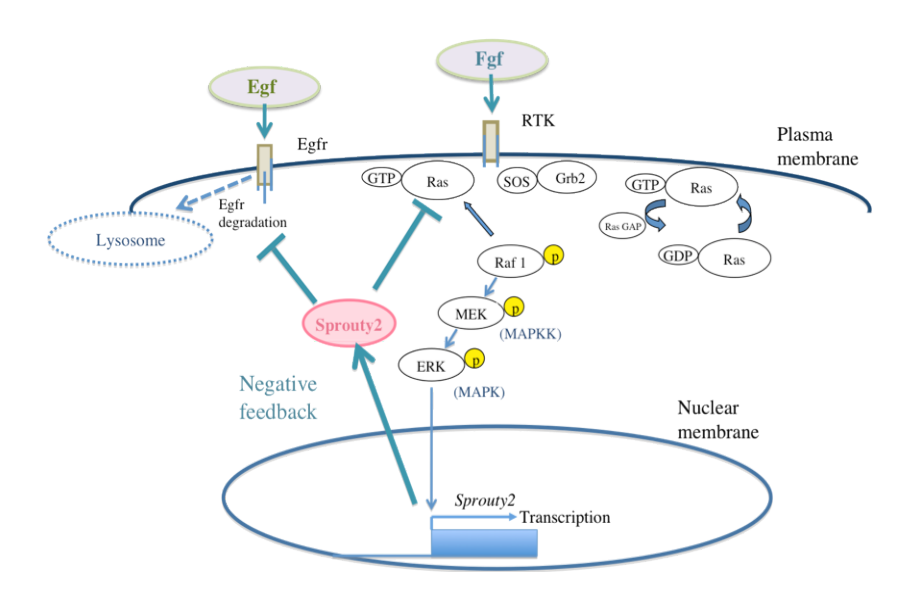


図 1 MAPK 経路

EGF や FGF をはじめとする増殖因子が受容体に結合すると、そのシグナルがアダプター分子である Grb2 から SOS へと伝達され、Ras が GTP 型になることで活性化型 Ras になる。活性化型 Ras は Rafl を誘導し、その後、Rafl のリン酸化から次々と下流の分子のリン酸化が引き起こされ、最終的に核内へシグナルが伝達され、細胞増殖または分化をコードする遺伝子が転写される。Sprouty2 は、このシグナル経路に対し、負のフィードバック機構によって増殖因子からのシグナルを調節している。

Sprouty2 KO マウスの表現型についてはこれまでさまざまな報告がある。 Sprouty2 は glial cell line-derived neurotrophic factor (GDNF) シグナルを介して消化管における神経叢の増殖や分化に関与しており、Sprouty2 KO マウスは食道無弛緩症および消化管運動障害をきたす [11]。また Sprouty2 KO マウスは高度の難聴を呈する。これは FGF8 シグナルが過剰に内耳細胞に作用することが原因であることが明らかになっており、Fgf8 ヘテロ接合マウスと交配することで聴力は回復する [12]。Sprouty2 KO マウスの口腔領域の表現型に関しては、臼歯部前方に生じる過剰歯について報告されている [13]。また Sprouty2 のホモログである Sprouty4 と Sprouty2 のダブル KO マウスは頭蓋の著しい形成不全により早期の胎生致死となる [14]。

このように、Sprouty2 KO マウスは多彩な表現型を呈するが、近年 Sprouty2 の口蓋裂発症への関与の可能性が報告されている。2005 年に Vieira ら [15] は非症候性の口唇口蓋裂患者の遺伝子変異解析を行い、SPRY2 がヒトにおける口唇口蓋裂発症の候補遺伝子である可能性を指摘した。また、Welch ら [9] は Sprouty2 を含む Mb 単位の領域を欠失した Ednrb s-36Pub deficiency of the piebald deletion complex mice (36Pub 変異マウス) に高頻度に口蓋裂を認め、Sprouty2 過剰発現マウスを交配することで口蓋裂の発症が抑制されると報告した。しかし、これまでに Sprouty2 KO マウスの口蓋の表現型に関する報告はない。

本研究では、Sprouty2 KO マウスの胎仔を解析し、口蓋癒合における Sprouty2 の役割について検討を行った。

材料と方法

1. マウス

Sprouty2 KO マウスは武富ら [11] が過去に作製したマウスを用いた。相同組換えの確認は次のようなプライマーを用いて polymerase chain reaction (PCR) 法にて行った (WT/KO-F:5'- AAC ACA CTG CCA AGA CCT GA -3'; WT-R:5'- TAG GCA TGC AGA CCC AAA TC -3'; KO-R:5'- CGA GAT CAG CAG CCT CTG TT -3') 対照群には Sprouty2 KO マウス同胞の野生型 (Sprouty2 wild-type: Sprouty2 WT) マウスを用いたが、一部の研究には Sprouty2 KO マウスとバックグラウンドが同じ C57BL/6J マウス (日本エスエルシー Shizuoka, Japan) を WT として用いた。マウス妊娠確認はプラグを目視することにより行い、プラグ確認の朝を E0.5 とした。妊娠マウスの頸椎を脱臼させた後、腹部を切開して胎仔を摘出した。摘出した胎仔は雌雄に関係なく実験に用いた。

2. マウス頭部前頭断切片の作製

マウス胎仔の頭部を切断し、1× phosphate-buffered saline (PBS) で洗浄後、4% paraformaldehyde (PFA) で 16 時間浸漬固定し、パラフィン包埋した後、厚さ 5 μm で頭部前頭断切片を作製した。作製した頭部前頭断切片を用いて、hematoxylin-eosin (HE) 染色を行った。

3. 免疫組織化学染色

パラフィン切片を脱パラフィン処理した後、内因性ペルオキシダーゼ除去のため 3% 過酸化水素水で 30 分間処理を行った。抗体の非特異的反応を防ぐため Power Block TM (Biogenics 社製 Napa, CA, USA) で 7 分間ブロッキ

ング処理後、一次抗体として抗 Sprouty2 ポリクローナル抗体 (ウサギ由来、Protein Tech 社製 *Chicago, IL, USA*)、抗 Ki-67 モノクローナル抗体 (ウサギ由来、Thermo Scientific 社製 *Hialeah, FL, USA*) を室温で 2 時間反応させた。 phosphate-buffered saline with TritonX-100 (PBST) で 2 回洗浄後、fluorescein isothiocyanate (FITC) 標識抗ウサギ IgG (ZYMED 社製 *South San Francisco, CA, USA*) を室温で 30 分間反応させた後に PBST で 4 回洗浄し、Vecta Shield (VECTOR LABORATORIES 社製 *Burlingame, CA, USA*) で包埋した。

4. RNA の抽出および complementary deoxyribonucleic acid (cDNA) の合成

RNA の抽出にはフェノール・クロロホルム法を用いた。まず、マウスロ 蓋突起を基部より切断後 Trizol® Reagent (Invitrogen 社製 *Carlsbad, CA, USA*) 中に採取し、ホモジナイザーを用いて粉砕した。これらに $0.2 \, \text{ml}$ のクロロホルムを加えて撹拌後、15 分間氷冷した。 4° C、10,000 rpm で 20 分間遠心した後に RNA を含む水層を採取し、これに $0.5 \, \text{ml}$ の $2 \, \text{-} \mathcal{I}$ ロパノールを加えて撹拌後、 4° C、 $10,000 \, \text{rpm}$ で $15 \, \text{分間遠心し上清を除去後に得られた RNA ペレットを <math>80\%$ エタノール で洗浄後乾燥させ、 50μ l の diethyl pyrocarbonate (DEPC) 処理水に溶解した。その後、吸光度計にて RNA の濃度を測定した。RNA 抽出後、reverse transcription polymerase chain reaction (RT-PCR) にて cDNA を作製した。RT-PCR は、GeneAmp RNA PCR キット (Applied Biosystems 社製 *Hammonton, NJ, USA*) を使用し、 42° C: $15 \, \text{分 (逆転写)}$ 、 99° C: $5 \, \text{分 (熱変性)}$ 、 5° C: $5 \, \text{分 (冷却)}$ の条件で行った。

5. リアルタイム PCR 法

リアルタイム PCR は Brilliant SYBR® Green QPCR Reagents

(STRATAGENE 社製 *La Jolla, CA, USA*) を用いて行った。反応条件は、熱変性は 95℃ で 1 サイクル目が 10 分間、2 サイクル以降は 20 秒間で行った。伸長反応は 72℃ で 20 秒間とし、全て 40 サイクルの増幅を行った。 *Sprouty2、Msx1*、paired-like homeodomain transcription factor1 (*Ptx1*)、ets variant gene5 (*Etv5*)、glycelaldehyde-3-phosphate dehydrogenase (*GAPDH*) のプライマー配列は表 1 に示す通りである。定量化には MxPro QPCR Software (STRATAGENE 社製 *La Jolla, CA, USA*) を用いた。各 messenger RNA (mRNA) の発現量は *GAPDH* mRNA の発現量と比較して、相対的発現量を算出した。

表1 PCR のプライマーと反応条件

検出する m RNA	フラグメントの サイズ (bp)	プラ	ライマーの塩基配列 (5'→3')
Sprouty2	178	センス アンチセンス	TCG CAG CCT TTG CTG CAG TGT TTA GGC TGC ACT CGG ATT ATT
Msx1	242	センス アンチセンス	CTC TCG GCC ATT TCT CAG TC TAC TGC TTC TGG CGG AAC TT
Ptx1	188	センス アンチセンス	CTC AAC GCT TGC CAG TAC AA GGG TCT GGA AAA AGC AAA CA
Etv5	219	センス アンチセンス	GGG AGA GAC AAA AAC CAC CA ATG GGT GTG CAG TTT CTT CC
GAPDH	106	センス アンチセンス	GAC AAG CTT CCC GTT CTC AG GAC TCA ACG GAT TTG GTC CT

6. ウエスタンブロット法

溶解溶液 (40 mM Hepes、150 mM 塩化ナトリウム、0.5% ノニテッド P-40、1 mM EDTA、1 mM バナデート、50 mM フッ化ナトリウム、1 mM ジチオスレイトール、100 mM ピロリン酸ナトリウム、10% グリセリン) を用いて細

胞からタンパク質を抽出し、吸光度測定にて濃度定量後、1 レーン当たり総 タンパク質量が 75 μ g になるようにして、sodium dodecyl sulfate-polyachrylamide gelelectrophoresis (SDS-PAGE) を行った (30 mA、3 時 間)。その後、タンパク質成分を poly vinilidene difluoride (PVDF) 膜 (Millipore 社製 Billerica, MA, USA) に転写 (200 mA、2 時間) し、抗体の非特異的結合 を防ぐために、10% スキムミルク/ PBS 中で室温にて 30 分間ブロッキング を行った。次に、1 次抗体として抗リン酸化 extracellular regulated kinase (ERK) 1/2 モノクローナル抗体および抗 ERK2 ポリクローナル抗体 (Santacruz Biotechnology 社製 Santa Cruz, CA, USA) を用いて、4℃ にて 16 時間反応さ せた。次に、PBST で 5 分× 2 回洗浄後、2 次抗体として HRP 標識抗ウ サギ IgG (Jackson Immuno-Research Laboratories 社製 West Grove, PA, USA) を用い、室温で 30 分間反応させた。その後、PBST で 15 分× 4 回洗浄し、 Super signal (PIERCE 社製 Rockford, IL, USA) で発色させて X 線フィルム (Fuji Film 社製 Tokyo, Japan) 上で検出した。バンドの強度は画像解析ソフト NIH image (National Institutes of Health Bethesda, MD, USA) を用いて計測した。

7. small interfering RNA (siRNA) の導入

Sprouty2 遺伝子発現抑制は Stealth RNAiTM specific for *Sprouty2* (Invitrogen 社製 *Carlsbad*, *CA*, *USA*) を用いてリポフェクション法にて行った。対象 DNA 配列は 5'- GCCATCCGAAACACCAATGAGTACA -3' とした。対照群には Negative control siRNA (Invitrogen 社製 *Carlsbad*, *CA*, *USA*) を導入した。

8. マウス口蓋器官培養

器官培養は Shuler ら [16] の方法に準じて行った。E13.5 の WT マウスよ

り両側の口蓋突起を採取し、Millicell-CM (Millipore 社製 *Billerica*, *MA*, *USA*) 上に左右の口蓋突起先端部が相対して接するように置いた。6 ウェル細胞培養用ディッシュに 10% fetal bovine serum (FBS) 含有 Dulbecco's Modified Eagle's Medium (DMEM) /F12 培地 (Sigma-Aldrich 社製 *St.Louis*, *MO*, *USA*) 1 ml および siRNA transfection reagent を入れ、その上に Millicell-CM を置いたインサートウェル (BD Falcon 社製 *Franklin Lakes*, *NJ*, *USA*) を挿入した。 siRNA transfection reagent の組成は 1 ウェルあたり OptiMEM 100 μl、 Sprouty2 siRNA (Invitrogen 社製 *Carlsbad*, *CA*, *USA*) 500nM、Oligofectamine (Invitrogen 社製 *Carlsbad*, *CA*, *USA*) 8 μl とした。37℃、5% CO₂ 下で 72 時間培養後、メンブレンごと口蓋突起を採取し、4% PFA で固定後パラフィン包埋した。厚さ 5 μm のパラフィン切片を作製し、HE 染色を行い口蓋の癒合を判定した。

9. terminal deoxynucleotidyl transferase mediated 2'-Deoxyuridine, 5'-Triphosphate biotin nick end labeling (TUNEL) 染色

胎生 13.5 日の WT マウス胎仔および *Sprouty2* KO マウス胎仔の頭部前頭 断切片にて、*In situ* Cell Death Detection Kit (Roche applied science 社製 *Basel*, *Swiss*) を用いてアポトーシス細胞を検出した。1 切片より 0.5 mm² の範囲を 任意に 3 か所選択し、陽性率を算出した。

10. マウス口蓋間葉細胞の初代培養

E13.5 の WT マウスロ蓋突起を採取し、酵素処理を行った。酵素液の組成は、PBS 5 ml 中 Collagenase (Sigma-Aldrich 社製 *St.Louis, MO, USA*) 2.4 U、Dispase (Roche applied science 社製 *Basel, Swiss*) 1.2 U とした。37℃、15 分処

理後、ピペッティングにて細胞を分散した。分散した細胞は PBS にて 1 回 洗浄後、10% FBS 含有 DMEM/F12 培地にて培養した。

11. 細胞増殖アッセイ

採取後 1 回から 2 回継代したマウスロ蓋間葉細胞に *Sprouty2* siRNA 25 nM もしくは Control siRNA を遺伝子導入し、96 ウェルプレートに 5×10^2 個/ウェルで播種した。播種後、24 時間毎に WST-8 生細胞数検出キット (ナカライテスク社製 *Kyoto, Japan*) を用いて細胞数測定を行った。

12. 5-bromo-2'-deoxy-uridine (BrdU) 標識

マウスロ蓋間葉細胞に *Sprouty2* siRNA 導入後 BrdU labeling and detection kit (Roche applied science 社製 *Basel, Swiss*) を用いて BrdU 標識を行った。 siRNA transfection reagent の組成は 1 ウェルあたり OptiMEM 100 μl、Sprouty2 siRNA (Invitrogen 社製 *Carlsbad, CA, USA*) 25 nM、Oligofectamine (Invitrogen 社製 *Carlsbad, CA, USA*) 2 μl とした。20 分間の BrdU 反応後、抗 BrdU 抗体を用いて免疫組織化学染色を行い、陽性細胞数を測定した。

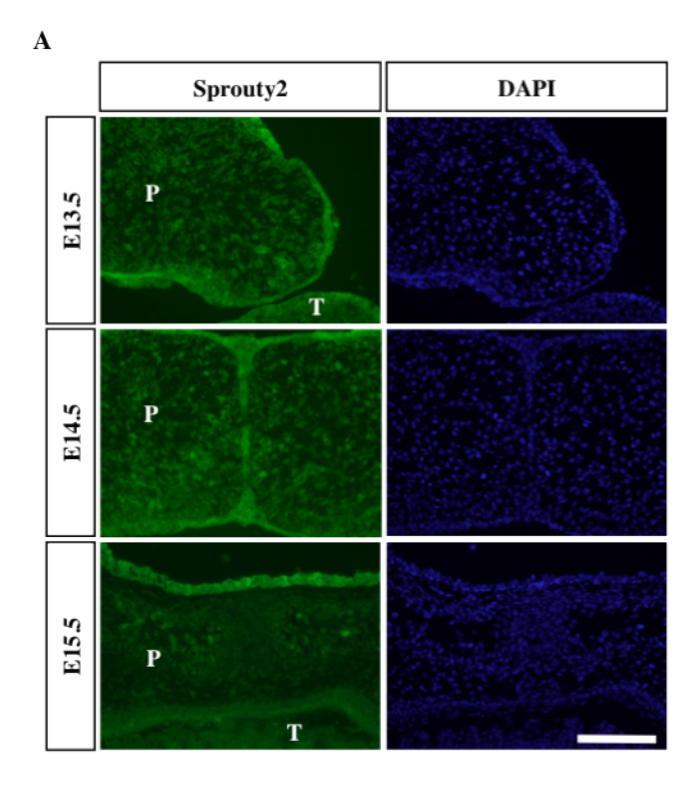
13. 統計学的処理

統計学的解析は JMP (SAS institute 社製 *Cary, NC, USA*) を用い、 Mann-Whitney U 検定および analysis of variance (ANOVA) を行った。P < 0.05 の場合を有意差ありとした。統計学的処理を行った結果は、平均±標準偏差で示した。

結 果

1. 野生型マウスの口蓋癒合時期における Sprouty2 の発現

WT マウスの口蓋における Sprouty2 の発現を確認した。今回、口蓋癒合時期 (E13.5 から E15.5) の C57BL/6J マウス頭部前頭断切片を作製し、免疫組織化学染色を行ったところ、口蓋上皮および間葉に Sprouty2 の発現を認めた。Sprouty2 は口蓋突起挙上および癒合の過程で恒常的に口蓋上皮および間葉に発現していた。口蓋癒合時期による局在の変化は認めなかった (図 2A)。また、口蓋癒合時期の発現量の変化を確認するため、リアルタイム PCR 法でSprouty2 mRNA 発現量を定量した。基部より切断し採取した口蓋突起よりmRNA を抽出し、cDNA 合成後にリアルタイム PCR を行った。いずれの時期においても Sprouty2 は口蓋に発現していたが、時期による発現量の変化は認めなかった (図 2B)。



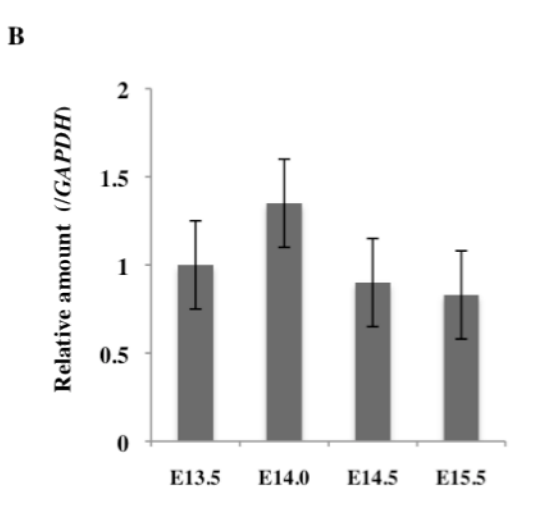


図 2 口蓋癒合時期の WT マウス口蓋における Sprouty2 の発現と局在

(A)頭部前頭断切片による免疫組織化学染色。口蓋間葉、口蓋上皮に Sprouty2 の発現を認める。P: palate (口蓋)、T: tongue (舌)、スケール: $100~\mu m$

(B) 定量的リアルタイム PCR を行い、相対的な Sprouty2 の mRNA 発現量を算出した。検定は ANOVA にて行った (P>0.05)。

2. Sprouty2 遺伝子欠損マウスにおける口蓋裂

E18.5 の Sprouty2 WT マウス、Sprouty2 KO マウスの外観を図 3A に示す。 Sprouty2 KO マウスは Sprouty2 WT マウスと比較していずれも体長、体色に 差はなかった。また、四肢の形成異常や眼の異常、口唇裂などの体表奇形は 認めなかった。下顎除去後、腹側から観察したところ、Sprouty2 KO マウス では矢印に示すように二次口蓋に裂を認めた (図 3B)。一次口蓋に裂はなか った。Sprouty2 KO マウスの口蓋突起の状態を確認するため、頭部前頭断切 片を作製し、HE染色を行った。Sprouty2WT マウスでは E14.5 で口蓋突起が 接合し、接合部上皮の消失が始まっており (図 3C, D)、E16.5 で完全に癒合 している (図 3G, H) のに対し、Sprouty2 KO マウスでは E14.5 (図 3E, F)、 E16.5 (図 3I, J) でいずれも口蓋突起が舌の側方に位置しており接合していな かった。また、E16.5 の Sprouty2 KO マウスでは E16.5 の Sprouty2 WT マ ウスの口蓋と同様に口蓋突起中央部に膜内骨化の兆候を認めた (図 3D, J, 矢 頭)。Sprouty2 KO マウスの口蓋裂発症頻度について検討したところ、 E16.5 の Sprouty2 KO マウスの胎仔の 21.9% に口蓋裂を認めた。口蓋裂発症例は 1 例を除きすべて口蓋突起が接合していない状態であった。Sprouty2 WT マ ウスとヘテロ接合マウスも同様に頭部前頭断切片を作製し観察したが、口蓋 裂は認めなかった (表 2)。

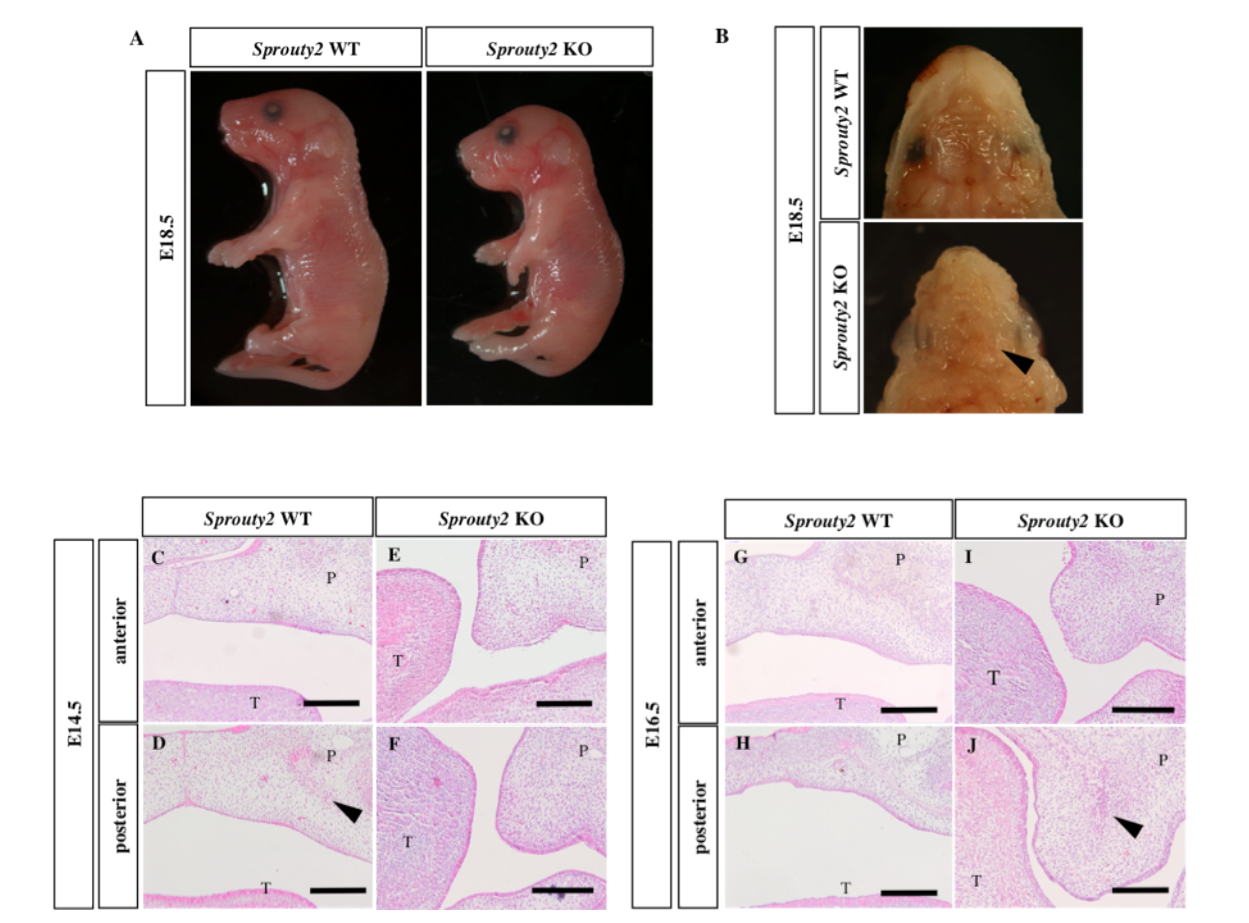


図 3 Sprouty2 KO マウスの表現型とその特徴

- (A) Sprouty2 WT マウス、Sprouty2 KO マウス胎仔の全体像 (E18.5)。Sprouty2 WT マウスと Sprouty2 KO マウスを比較して体長や体色の差はない。
- (B) Sprouty2 WT マウス、 Sprouty2 KO マウス胎仔の口蓋 (E18.5)。Sprouty2 KO マウスの口蓋に裂を認める (矢頭)。
- (C J) Sprouty2 WT マウス、Sprouty2 KO マウス胎仔の頭部前頭断切片による HE 染色。 Sprouty2 WT マウスは E14.5で口蓋突起が接合し癒合開始しており (C, D)、E16.5 では完全 に癒合している (G, H)。Sprouty2 KO マウスでは E16.5 でも口蓋突起が挙上していない (I, J)。E16.5 の Sprouty2 WT マウスおよび Sprouty2 KO マウスいずれも口蓋突起中央に膜内骨 化の兆候を認める (D, J: 矢頭)。P: palate (口蓋)、T: tongue (舌)、スケール: 200 μm

表 2 Sprouty 2 KO マウスの口蓋裂発症頻度

遺伝子型	口蓋裂 (口蓋突起非接触)	口蓋裂 (口蓋突起接触)	口蓋癒合
Sprouty2 WT マウス	0/34 (0.0%)	0/34 (0.0%)	34/34 (100.0%)
ヘテロ接合マウス	0/110 (0.0%)	0/110 (0.0%)	110/110 (100.0%)
Sprouty2 KO マウス	6/32 (18.8%)	1/32 (3.1%)	25/32 (78.1%)

3. Sprouty2 遺伝子欠損マウスにおける骨格系の評価

Sprouty2 KO マウスの下顎骨形態について検討するため、E13.5、E14.5 の *Sprouty2* WT マウス、*Sprouty2* KO マウスの下顎骨の幅 (図 4A)、近遠心的長さ (図 4B) を肉眼的に計測した。下顎の幅、長さとも *Sprouty2* WT と *Sprouty2* KO の間に有意な差は認めなかった。

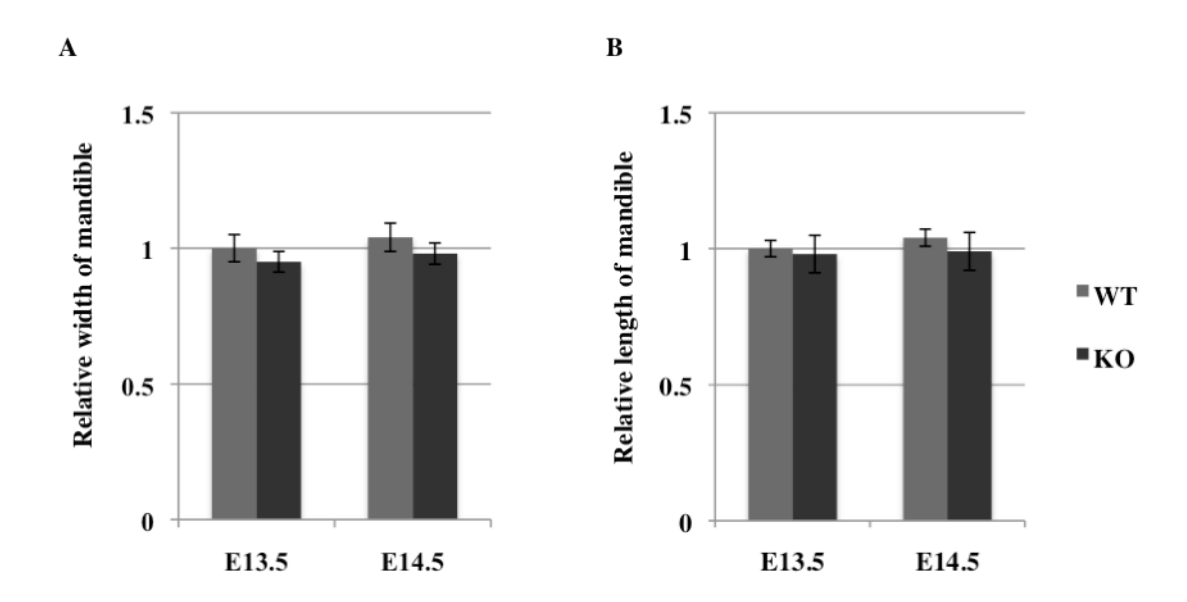
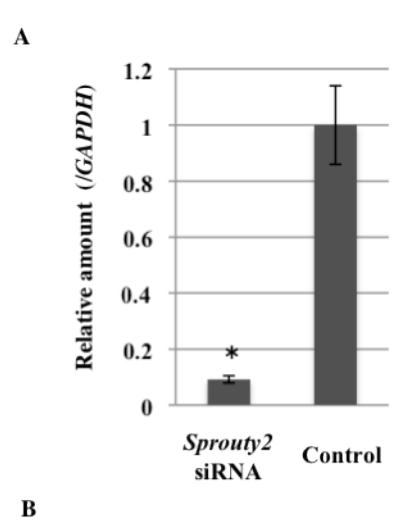


図 4 Sprouty2 KO マウスの骨格系に関する評価

(M,N) Sprouty2 KO マウスの下顎の幅 (M) 、近遠心的長さ (N) を計測し、WT マウスと比較した (n=6)。 E13.5 の WT マウスの計測値を基準として相対的長さを算出し、2 群間で Mann-Whitney の U 検定を行った (P<0.05)。

4. 口蓋器官培養における Sprouty2 遺伝子発現抑制の効果

E13.5 の C57BL/6J マウスより両側の口蓋突起を採取し、Sprouty2 遺伝子発現抑制下に口蓋器官培養を行った。500 nM の Sprouty2 siRNA をリポフェクション法にて導入し、48 時間後にリアルタイム PCR 法で導入効率を確認したところ、対照群と比較して Sprouty2 の発現は 91.2% 抑制されていた(図 5A)。遺伝子発現抑制群、対照群ともに 72 時間培養後に癒合部の口蓋上皮は完全に消失しており、癒合が確認された (図 5B, 表 3)。



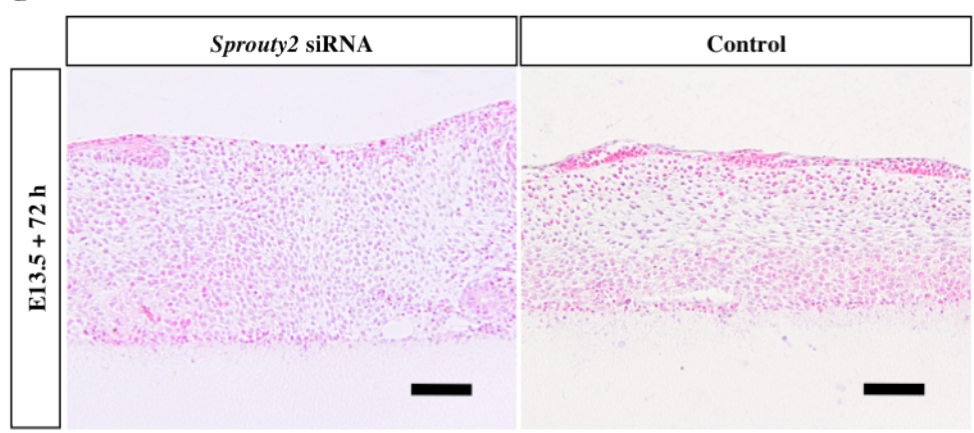


図 5 口蓋器官培養における Sprouty2 遺伝子発現抑制の効果

(A)口蓋器官培養時の siRNA による遺伝子発現抑制効果を定量的リアルタイム PCR で確認した。 500 nM の Sprouty2 siRNA を導入後、48 時間後の導入効率を確認し、2 群間でMann-Whitney の U 検定を行った (P < 0.05) 。

(B) 器官培養開始後 72 時間経過時の口蓋パラフィン切片による HE 染色。Sprouty2 siRNA 導入群、対照群とも完全に癒合している。スケール: 200 μm

衣 3	日蓋希目培養における	Sprouty2 siRNA の影響

	口蓋癒合	口蓋非癒合	
Control	18/18 (100.0%)	0/18 (0.0%)	
Sprouty2 siRNA	26/26 (100.0%)	0/26 (0.0%)	

5. Sprouty2 遺伝子欠損マウス口蓋の細胞増殖とアポトーシスに関する 検討

Sprouty2 KO マウスの口蓋におけるアポトーシスおよび細胞増殖について検討するため、 E13.5 の *Sprouty2* KO マウス胎仔および *Sprouty2* WT マウス胎仔の頭部前頭断切片を用い、TUNEL 染色 (図 6A, B) および Ki-67 の免疫組織化学染色 (図 6C, D) を行った。 TUNEL 染色ではいずれも陽性細胞をほとんど認めなかった (図 6E)。一方、Ki-67 陽性細胞は *Sprouty2* KO マウスの口蓋間葉で有意に多く認められた (図 6F)。

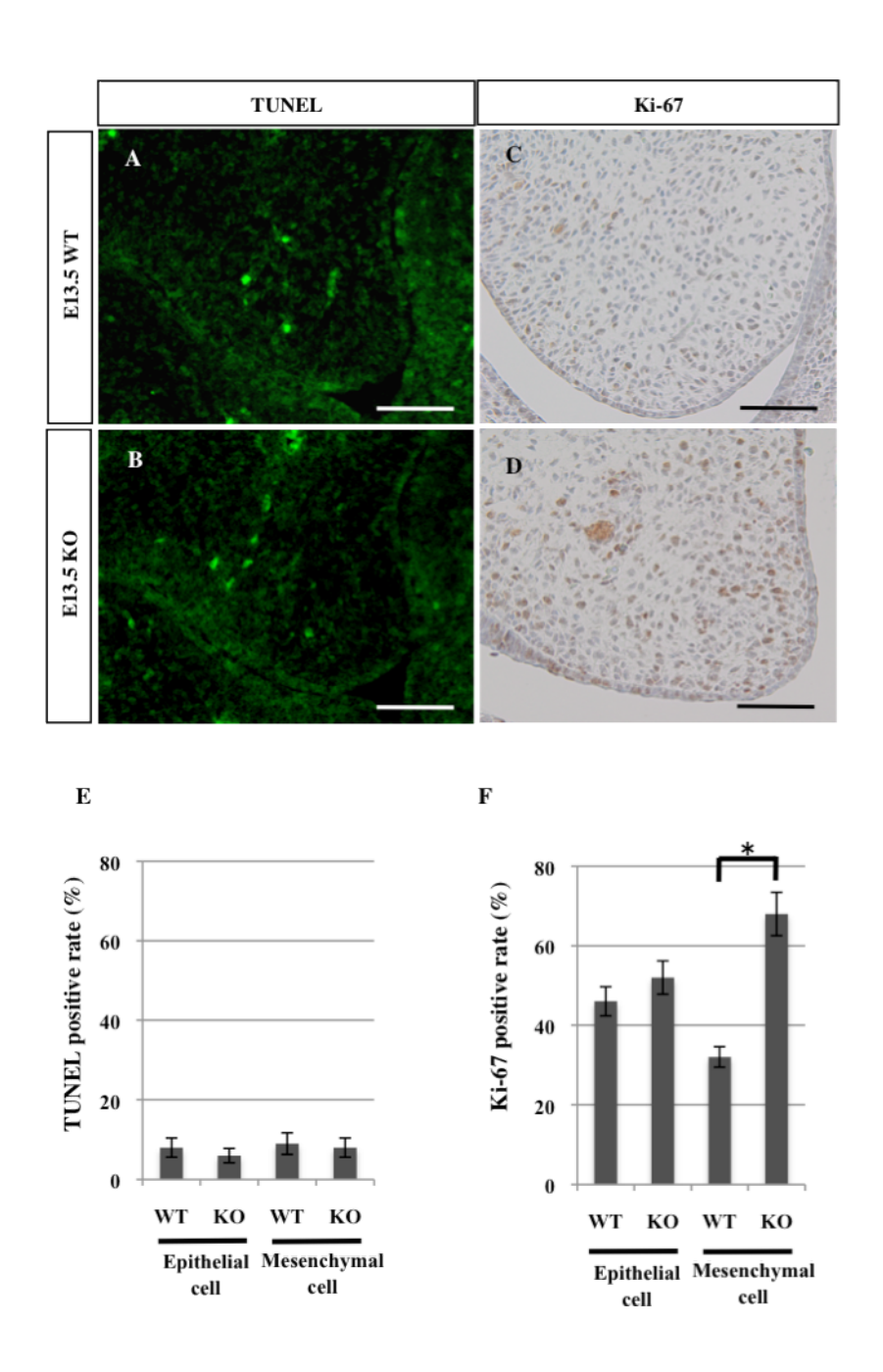


図 6 Sprouty2 KO マウスにおけるアポトーシス、細胞増殖に関する検討

(A - D) E13.5 の WT マウス、Sprouty2 KO マウスの頭部前頭断切片による TUNEL 染色 (WT: A, KO: B)、Ki-67 免疫組織化学染色 (WT: C, KO: D)。スケール:200 μ m (E, F) TUNEL 陽性細胞率 (E)、Ki-67 陽性細胞率 (F) を示す。WT マウスおよび Sprouty2 KO マウス間で Mann-Whitney の U 検定を行った (*P < 0.05)。

6. Sprouty2 遺伝子発現抑制による口蓋間葉細胞増殖の変化

E13.5 の C57BL/6J マウスの口蓋より間葉細胞を採取し、初代培養を行った。 Sprouty2 siRNA をリポフェクション法にて遺伝子導入し、細胞増殖について検討を行った。 Sprouty2 siRNA 導入効率をウエスタンブロット法にて確認したところ、25 nM の siRNA 導入で Sprouty2 の発現が抑制できていることが確認できた (図 7A)。 siRNA 導入後に WST-8 法にて経時的に生細胞数を測定したところ、96 時間培養後に Sprouty2 siRNA 導入群で細胞増殖が有意に亢進していた (図 7B)。また、BrdU 標識を行ったところ、Sprouty2 siRNA 導入群では 対照群に比べ、BrdU 陽性細胞が有意に多かった (図 7C)。

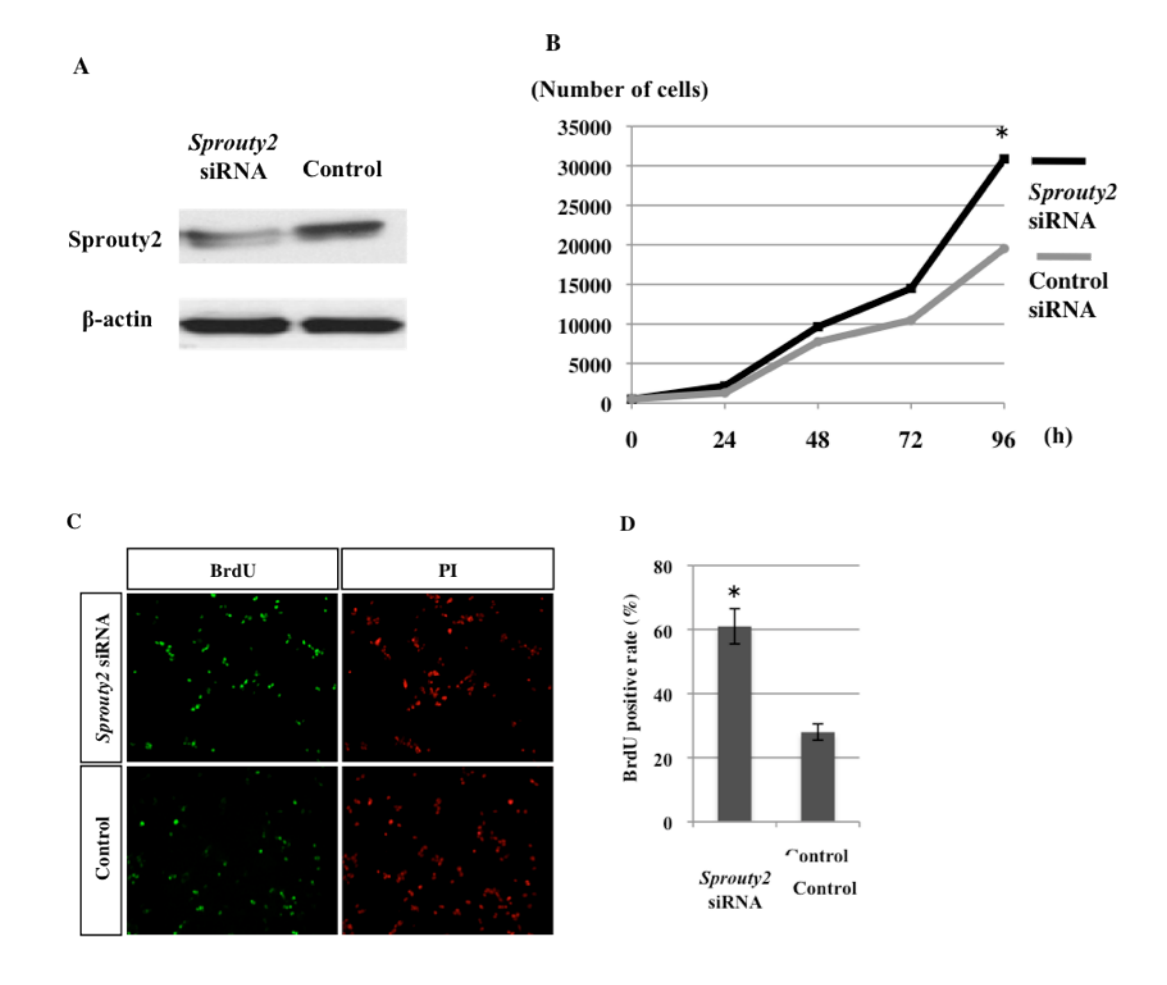


図 7 口蓋間葉細胞における Sprouty2 遺伝子発現抑制の影響

- (A) 口蓋器官培養時の siRNA による遺伝子発現抑制効果をウエスタンブロット法で確認した。
- (B) Sprouty2 siRNA を導入した口蓋間葉細胞を用いて WST-8 アッセイを行った。siRNA 導入群および対照群間で ANOVA により検定を行った (*P<0.05)。
- (C,D) Sprouty2 siRNA を導入した口蓋間葉細胞に BrdU 標識を行った (C)。 陽性細胞率を算出し (D)、siRNA 導入群および対照群間で Mann-Whitney の U 検定を行った (*P < 0.05)。

7. Sprouty2 による FGF シグナルを介した口蓋間葉細胞増殖制御

E13.5 と E14.5 の *Sprouty2* KO マウスの口蓋より mRNA を採取し、FGF シグナルにより誘導される転写因子である *Msx1、Ptx1、Etv5* の発現を RT-PCR 法にて確認した (図 8A)。*Msx1、Etv5* は E13.5 の *Sprouty2* KO マウス、 *Ptx1* は E14.5 の *Sprouty2* KO マウスで *Sprouty2* WT マウスに比べ発現が上昇していた (図 8B)。

次に、*Sprouty2* siRNA 導入下に培養した口蓋間葉細胞よりタンパクを抽出し、ウエスタンブロット法にて解析を行った。*Sprouty2* siRNA 導入群では、FGF 刺激時に細胞増殖の指標となる ERK1/2 のリン酸化が亢進していた(図 9A, C)。一方、EGF 刺激時は *Sprouty2* siRNA 導入群と対照群間でERK1/2 のリン酸化には有意な差は認めなかった (図 9B, D)。

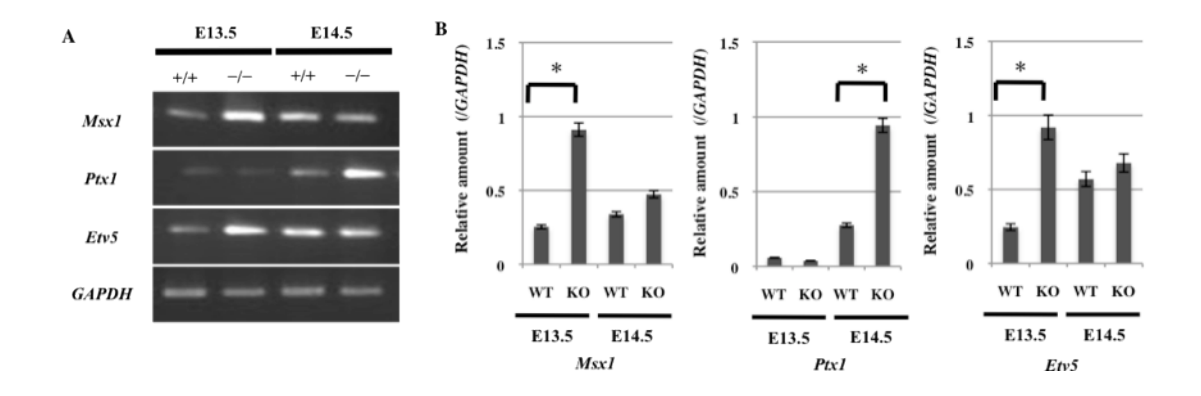


図 8 Sprouty2 KO マウスにおける口蓋裂関連分子の発現

(A) Sprouty2 KO マウスの口蓋突起より採取した mRNA を用いて、RT-PCR 法にて口蓋裂関連分子の発現を確認した。GAPDH はポジティブコントロールとして用いた。

(B) NIH image を用い、相対的な mRNA 発現量を算出した。WT マウスおよび KO マウス間で Mann-Whitney の U 検定を行った (*P<0.05)。

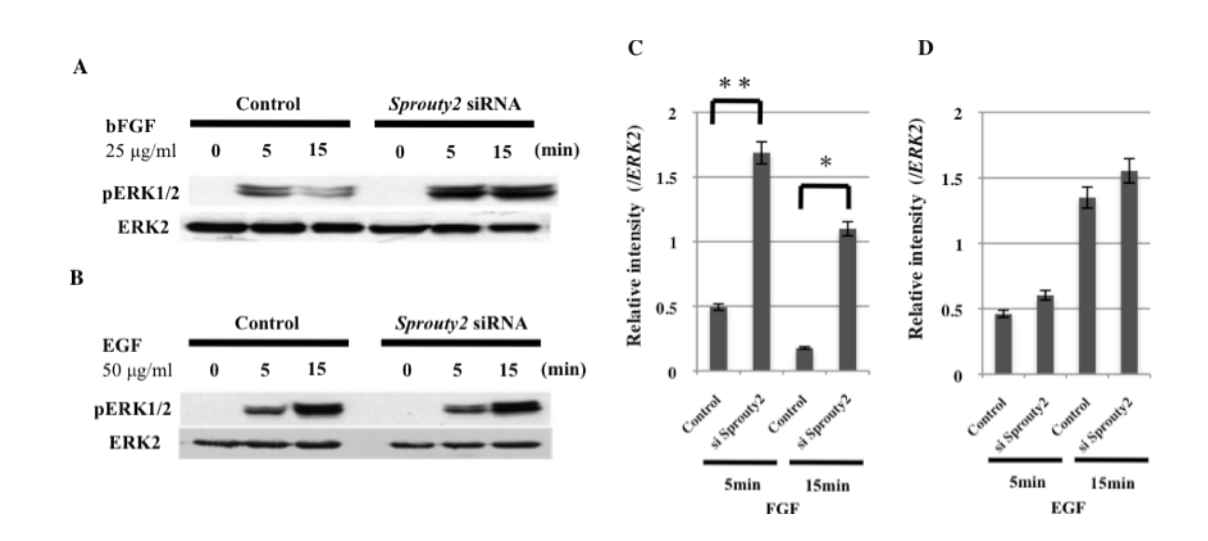


図 9 口蓋間葉細胞における FGF と EGF による ERK1/2 の活性化

(A,B) Sprouty2 siRNA を口蓋間葉細胞に導入後、FGF 25 ng/ml (A)、EGF 50 ng/ml (B) で時間を追って刺激した。細胞からタンパク回収後、ウエスタンブロット法を用いて ERK1/2 の活性化を解析した。抗 ERK2 ポリクローナル抗体はポジティブコントロールとして用いた。 (C,D) NIH image を用い、相対的なタンパク発現量を算出した。FGF 刺激時 (C) と EGF 刺

激時 (D) それぞれ siRNA 導入群および対照群間で Mann-Whitney の U 検定を行った (*P < 0.05)。

考察

口唇口蓋裂は顎顔面領域で最も多い先天奇形のうちのひとつである。その 発症機序は現在も明らかになっていないが、これまでにさまざまな増殖因子 とその受容体、転写因子や細胞外マトリックス分子の遺伝子欠損マウスで口 蓋裂発症の報告がある。これまでに報告されている口蓋裂発症 KO マウスの 病態に大きな違いはないが、その発症機序は多様である。これまでに報告さ れている口蓋裂のパターンは次の5つに大別できる。1)口蓋突起の形成不全、 2) 挙上前の口蓋突起と舌や下顎との癒合、3) 口蓋突起の挙上障害、4) 挙上 後の口蓋突起の接合不全、5)接合部口蓋上皮の残存である [10]。Fgf10 KO マウスおよび Fgf10 のレセプターである Fgfr2b の KO マウスでは、口蓋上 皮細胞におけるアポトーシスが増加し、口蓋突起の形成不全をきたす [8]。 *Tgfb3* KO マウス [6] および *Egfr* KO マウス [7] では、口蓋突起の舌上方へ の挙上、接合までの過程は正常のマウスと同様であるが、接合部上皮が消失 せず残存することで口蓋裂となる。また、Osr2 KO [17, 18]、Pdgfc KO マウス [19]、Gil3 KO マウス [20] では口蓋突起の挙上障害を認める。本研究におい て、Sprouty2 KO マウスのうち口蓋裂を発症した胎仔では口蓋突起は形成され ていたが、舌の側方にあり挙上していなかった。口蓋突起挙上のメカニズム については諸説あるが、現在も詳細は明らかになっていない。現在の一般的 な見解としては、口蓋突起の挙上は口蓋突起自体の増殖のタイミングや、下 顎や口腔内の形態により制御されるとされている [5]。

Sprouty2 KO マウス胎仔における口蓋裂発症率は 21.9% であった。これまでに、Sprouty2 を含む領域を欠失した 36pub 変異マウスで口蓋裂の発症が報

告されている [7] が、口蓋裂発症率は 83.3% であり、*Sprouty2* KO マウスの発症率と比較すると非常に高い頻度であった。これは、*36Pub* 変異マウスは全長約 1 Mb の遺伝子を欠失しており、この中には *Sprouty2* 以外の遺伝子も含まれているためと考えられる [22, 23]。

Sprouty2 KO マウスにおける口蓋裂発症機序を明らかにするため、in vitro で口蓋の癒合能について検討した。口蓋の器官培養を Sprouty2 遺伝子発現抑 制下に行ったところ、口蓋接合部の上皮は消失して完全に癒合しており、上 皮残存といった癒合不全は認めなかった。次に、Sprouty2 KO マウスにおい て免疫組織学的手法を用い細胞増殖活性およびアポトーシスについて検討し たところ、Sprouty2 KO マウスでは口蓋間葉の細胞増殖が亢進していること が示唆された。Sprouty2 KO マウスの口蓋突起の形態に関しては詳細な定量 的検討を行っていないが、口蓋突起の長さや幅は Sprouty2 WT マウスと比較 して明らかな差は認めなかったことから、口蓋間葉細胞増殖の亢進により口 蓋突起挙上のタイミングにずれが生じている可能性が考えられた。同様に口 蓋間葉細胞の増殖亢進がみられる口蓋裂発症マウスとして homeobox-A2 (*Hoxa2*) KO マウスが過去に報告されている [24]。Hoxa2 はホメオドメインを 持つ転写因子のひとつで [25]、Hoxa2 KO マウスでは口蓋間葉細胞増殖の亢 進により口蓋突起が挙上せず口蓋裂となる [24]。これは Sprouty2 KO マウス の表現型に極めて類似している。また、Hoxa2 KO マウスでは口蓋間葉細胞 の増殖異常の他に、舌骨舌筋が舌骨大角へ異常付着することによる舌の位置 異常も報告されており [26]、Sprouty2 KO マウスも同様に舌の異常を伴う可 能性がある。舌の位置や形態に関しては今後さらに検討する必要があると考

えられる。

Sprouty2 は MAPK 経路抑制因子であるが、これまでにさまざまな MAPK 経路関連分子の遺伝子欠損マウスで口蓋裂発症の報告があり、口蓋の発生や癒合に MAPK 経路は深く関与していると考えられる。中でも FGF シグナルは口蓋の細胞増殖に重要な役割を果たしている。Fgf10 は口蓋間葉に発現し、Fgfr2b を介して口蓋上皮の細胞増殖を正に調節する。また一方では、口蓋上皮における sonic hedgehog (Shh) の発現にも関与し、Shh 経路を介して口蓋間葉の細胞増殖も制御している [8,27]。Sprouty2 は FGF シグナルの負の制御因子であることから、Sprouty2 KO マウスの口蓋間葉では FGF シグナルが過剰に入ることで細胞増殖が亢進すると推察される。Sprouty2 KO マウスの口蓋では FGF シグナルの下流で働く Msx1 [28,29]、Ptx1 [29]、Etv5 [30] の発現が Sprouty2 WT マウスの口蓋に比べ増加していた。また、口蓋間葉細胞をFGF で刺激したところ、Sprouty2 遺伝子発現抑制群で ERK1/2 のリン酸化は増強していた。このことから、Sprouty2 は口蓋間葉細胞において FGF シグナル経路を介して細胞増殖を制御していることが示唆された。

以上の結果より、Sprouty2 KO マウスでは FGF シグナルの増強および口蓋間葉の細胞増殖の異常により、適切な時期に口蓋突起の挙上が行われず口蓋裂を発症するという可能性が示唆された。今回は検討を行っていないが、Sprouty2 KO マウスにおいて、口蓋裂の発症に影響があると考えられている舌の形態や位置に関して今後検討していきたいと考えている。

また、口唇口蓋裂の発症には複数の遺伝子がシグナルクロストークを介して関与するとされているため、今後は Sprouty をはじめとした MAPK 関連

分子の口蓋裂発症への関与についてさらに検討し、ヒトにおける口唇口蓋裂 発症原因の解明へと繋げていきたい。

参考文献

- [1] P. Stanier, G.E. Moore, Genetics of cleft lip and palate: syndromic genes contribute to the incidence of non-syndromic clefts, Hum. Mol. Genet. 13 Spec No 1 (2004) R73-81.
- [2] 木下弘幸, 夏目長門, 口唇・口蓋裂の家族内発現について, 小児口腔外科. 2(1992)41-47.
- [3] A. Jugessur, J.C. Murray, Orofacial clefting: recent insights into a complex trait, Curr. Opin. Genet. Dev. 15 (2005) 270-278.
- [4] A. Gritli-Linde, Molecular control of secondary palate development, Dev. Biol. 301 (2007) 309-326.
- [5] M.W. Ferguson, Palate development, Development. 103 Suppl (1988) 41-60.
- [6] Y. Taya, S. O'Kane, M.W. Ferguson, Pathogenesis of cleft palate in TGF-beta3 knockout mice, Development. 126 (1999) 3869-3879.
- [7] P.J. Miettinen, J.R. Chin, L. Shum, H.C. Slavkin, C.F. Shuler, R. Derynck, Z. Werb, Epidermal growth factor receptor function is necessary for normal craniofacial development and palate closure, Nat. Genet. 22 (1999) 69-73.
- [8] R. Rice, B. Spencer-Dene, E.C. Connor, A. Gritli-Linde, A.P. McMahon, C. Dickson, I. Thesleff, D.P. Rice, Disruption of Fgf10/Fgfr2b-coordinated epithelial-mesenchymal interactions causes cleft palate, J. Clin. Invest. 113 (2004) 1692-1700.

- [9] I.C. Welsh, A. Hagge-Greenberg, T.P. O'Brien, A dosage-dependent role for Spry2 in growth and patterning during palate development. Mech Dev. 124 (2007) 746-761.
- [10] Y. Chai, R.E. Maxson Jr, Recent advances in craniofacial morphogenesis, Dev. Dyn. 235 (2006) 2353-2375.
- [11] T. Taketomi, D. Yoshiga, K. Taniguchi, T. Kobayashi, A. Nonami, R. Kato, M. Sasaki, A. Sasaki, H. Ishibashi, M. Moriyama, K. Nakamura, J. Nishimura, A. Yoshimura, Loss of mammalian Sprouty2 leads to enteric neuronal hyperplasia and esophageal achalasia, Nat. Neurosci. 8 (2005) 855-857.
- [12] K. Shim, G. Minowada, D.E. Coling, G.R. Martin, Sprouty2, a mouse deafness gene, regulates cell fate decisions in the auditory sensory epithelium by antagonizing FGF signaling, Dev. Cell. 8 (2005) 553-564.
- [13] O.D. Klein, G. Minowada, R. Peterkova, A. Kangas, B.D. Yu, H. Lesot, M. Peterka, J. Jernvall, G.R. Martin, Sprouty genes control diastema tooth development via bidirectional antagonism of epithelial-mesenchymal FGF signaling, Dev. Cell. 11 (2006) 181-190.
- [14] K. Taniguchi, T. Ayada, K. Ichiyama, R. Kohno, Y. Yonemitsu, Y. Minami, A. Kikuchi, Y. Maehara, A. Yoshimura, Sprouty2 and Sprouty4 are essential for embryonic morphogenesis and regulation of FGF signaling, Biochem. Biophys. Res. Commun. 352 (2007) 896-902.
- [15] A.R. Vieira, J.R. Avila, S. Daack-Hirsch, E. Dragan, T.M. Felix, F. Rahimov, J. Harrington, R.R. Schultz, Y. Watanabe, M. Johnson, J. Fang, S.E. O'Brien, I.M.

- Orioli, E.E. Castilla, D.R. Fitzpatrick, R. Jiang, M.L. Marazita, J.C. Murray, Medical sequencing of candidate genes for nonsyndromic cleft lip and palate, PLoS Genet. 1 (2005) e64.
- [16] C.F. Shuler, Y. Guo, A. Majumder, R.Y. Luo, Molecular and morphologic changes during the epithelial-mesenchymal transformation of palatal shelf medial edge epithelium in vitro, Int. J. Dev. Biol. 35 (1991) 463-472.
- [17] Y. Gao, Y. Lan, C.E. Ovitt, R. Jiang, Functional equivalence of the zinc finger transcription factors Osr1 and Osr2 in mouse development, Dev. Biol. 328 (2009) 200-209.
- [18] Y. Lan, C.E. Ovitt, E.S. Cho, K.M. Maltby, Q. Wang, R. Jiang, Odd-skipped related 2 (Osr2) encodes a key intrinsic regulator of secondary palate growth and morphogenesis, Development. 131 (2004) 3207-3216.
- [19] H. Ding, X. Wu, H. Bostrom, I. Kim, N. Wong, B. Tsoi, M. O'Rourke, G.Y. Koh, P. Soriano, C. Betsholtz, T.C. Hart, M.L. Marazita, L.L. Field, P.P. Tam, A. Nagy, A specific requirement for PDGF-C in palate formation and PDGFR-alpha signaling, Nat. Genet. 36 (2004) 1111-1116.
- [20] X. Huang, S.L. Goudy, T. Ketova, Y. Litingtung, C. Chiang, Gli3-deficient mice exhibit cleft palate associated with abnormal tongue development, Dev. Dyn. 237 (2008) 3079-3087.
- [21] C. Lazzaro, Sul meccanismo di chiusura del palato secondario, Monit Zool Ital.51 (1940) 249-273.

- [22] K.A. Peterson, B.L. King, A. Hagge-Greenberg, J.J. Roix, C.J. Bult, T.P. O'Brien, Functional and comparative genomic analysis of the piebald deletion region of mouse chromosome 14, Genomics. 80 (2002) 172-184.
- [23] J.J. Roix, A. Hagge-Greenberg, D.M. Bissonnette, S. Rodick, L.B. Russell, T.P. O'Brien, Molecular and functional mapping of the piebald deletion complex on mouse chromosome 14, Genetics. 157 (2001) 803-815.
- [24] T.M. Smith, X. Wang, W. Zhang, W. Kulyk, A.J. Nazarali, Hoxa2 plays a direct role in murine palate development, Dev. Dyn. 238 (2009) 2364-2373.
- [25] Z.N. Akin, A.J. Nazarali, Hox genes and their candidate downstream targets in the developing central nervous system, Cell. Mol. Neurobiol. 25 (2005) 697-741.
- [26] J.R. Barrow, M.R. Capecchi, Compensatory defects associated with mutations in Hoxa1 restore normal palatogenesis to Hoxa2 mutants, Development. 126 (1999) 5011-5026.
- [27] S.R. Alappat, Z. Zhang, K. Suzuki, X. Zhang, H. Liu, R. Jiang, G. Yamada, Y. Chen, The cellular and molecular etiology of the cleft secondary palate in Fgf10 mutant mice, Dev. Biol. 277 (2005) 102-113.
- [28] Z. Zhang, Y. Song, X. Zhao, X. Zhang, C. Fermin, Y. Chen, Rescue of cleft palate in Msx1-deficient mice by transgenic Bmp4 reveals a network of BMP and Shh signaling in the regulation of mammalian palatogenesis, Development. 129 (2002) 4135-4146.

- [29] A.J. Barlow, J.P. Bogardi, R. Ladher, P.H. Francis-West, Expression of chick Barx-1 and its differential regulation by FGF-8 and BMP signaling in the maxillary primordia, Dev. Dyn. 214 (1999) 291-302.
- [30] H.J. Kim, D.P. Rice, P.J. Kettunen, I. Thesleff, FGF-, BMP- and Shh-mediated signalling pathways in the regulation of cranial suture morphogenesis and calvarial bone development, Development. 125 (1998) 1241-1251.

謝辞

稿を終えるにあたり、御懇篤なる御指導を頂きました中村誠司教授に深甚なる謝意を表します。また直接御指導頂きました武富孝治助教、吉崎恵吾先生に深謝致します。九州大学大学院歯学研究院口腔顎顔面病態学講座顎顔面腫瘍制御学分野および九州大学病院口唇口蓋裂クリニックの皆様には多くの建設的御意見と御指導を賜り、心より感謝致します。